

19 磁场中的磁介质

19.1 磁介质对磁场的影响

19.2 原子、分子的磁矩

19.3 磁介质的磁化

19.4 有磁介质时磁场的规律

19.5 铁磁质

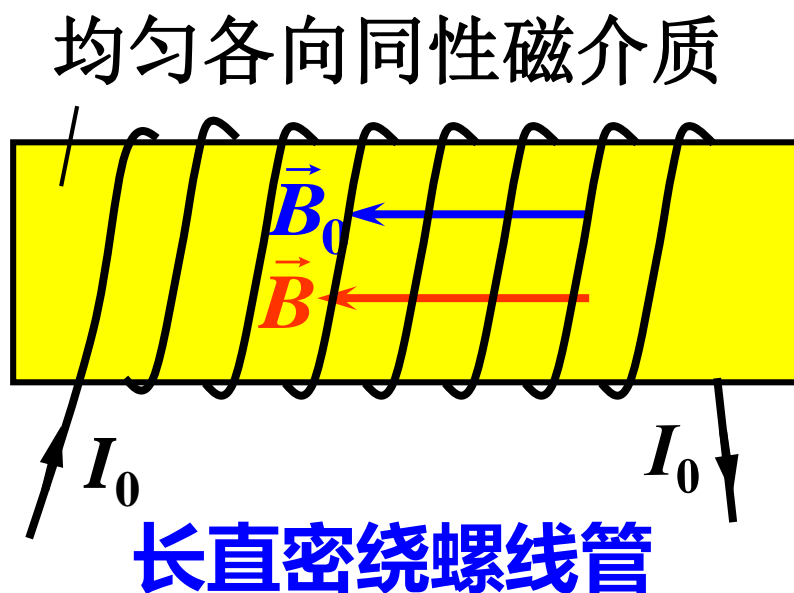
19.6 简单磁路

19.1 磁介质对磁场的影响

在磁场的作用下会发生变化，并能反过来影响磁场的物质称为**磁介质**。

传导电流 $I_0 \rightarrow \vec{B}_0$ ，介质磁化 $\rightarrow \vec{B}'$ ，

总磁感强度 $\vec{B} = \vec{B}_0 + \vec{B}'$



均匀各向同性介质
充满磁场所在空间时，

有：

$$\vec{B} = \mu_r \vec{B}_0$$

μ_r —**相对磁导率**
(relative permeability)

磁介质的分类:

▲ 弱磁质, $\mu_r \approx 1$

- 顺磁质 (**paramagnetic substance**) $\mu_r > 1$

如: Mn, Al, O₂, N₂...

- 抗磁质 (**diamagnetic substance**) $\mu_r < 1$

如: Cu, Ag, Cl₂, H₂...

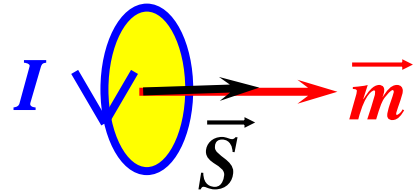
▲ 铁磁质 (**ferro magnetic substance**) $\mu_r \gg 1$

如: Fe, Co, Ni...

某些磁介质的相对磁导率 (书 p. 165, 表19.1)

19.2 原子、分子的磁矩

一. 电子的磁矩



电子的轨道运动电流 $I = e \cdot \frac{v}{2\pi r}$

$$\text{轨道磁矩 } m = \frac{ev}{2\pi r} \cdot \pi r^2 = \frac{evr}{2}$$

电子轨道运动的角动量 $L = m_e vr$

电子轨道磁矩与轨道角动量的关系: $\vec{m} = -\frac{e}{2m_e} \vec{L}$

电子自旋磁矩和自旋角动量 \vec{S} 的关系: $\vec{m} = -\frac{e}{m_e} \vec{S}$

二. 质子和中子的磁矩

质子轨道磁矩 $\vec{m} = \frac{e}{2m_p} \vec{L}$, 中子无轨道磁矩。

质子和中子都有自旋磁矩: $\vec{m} = g \frac{e}{2m_p} \vec{S}$

g 称为 g 因子, 质子 $g = 5.5857$, 中子 $g = -3.8261$ 。

三. 原子核的磁矩

整个原子核的自旋磁矩 $\vec{m} = g \frac{e}{2m_p} \vec{I}$

\vec{I} 为核的自旋角动量, 因子 g 由原子核决定。

由上可知, 核磁矩远小于电子磁矩。

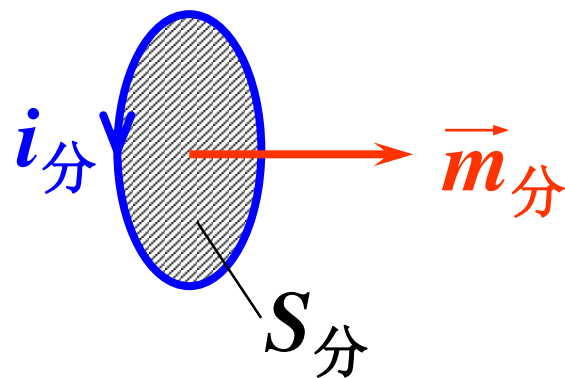
四. 分子磁矩和分子电流

电子轨道磁矩
电子自旋磁矩
原子核磁矩

} 分子磁矩 $\vec{m}_{\text{分}}$ $\xrightarrow{\text{等效}}$ 分子电流 $i_{\text{分}}$

(molecular magnetic moment)

(molecular current)



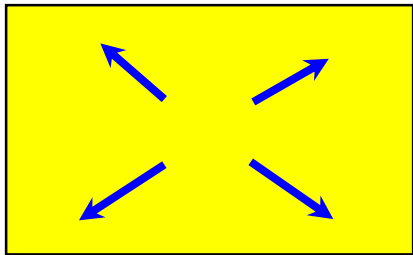
19.3 磁介质的磁化

磁化 (magnetization) : 在磁场作用下，介质出现磁性或磁性发生变化的现象。

一. 顺磁质磁化

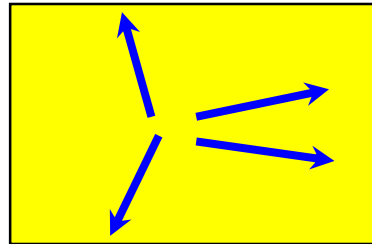
顺磁质分子有**固有的分子磁矩**（主要是电子轨道和自旋磁矩的贡献）， $m_{\text{分}} \sim 10^{-23} \text{A} \cdot \text{m}^2$ 。

$$\vec{B}_0 = 0$$



热运动使 $\vec{m}_{\text{分}}$ 完全混乱，不显磁性。

$$\vec{B}_0 \neq 0 \longrightarrow$$

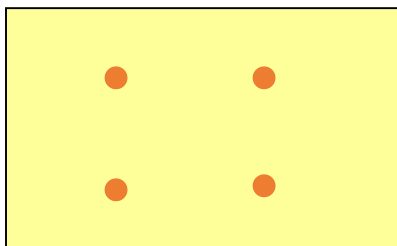


\vec{B}_0 使 $\vec{m}_{\text{分}}$ 排列趋于 \vec{B}_0 方向，显现磁性。

二. 抗磁质的磁化

抗磁质的分子固有磁矩为 0 。

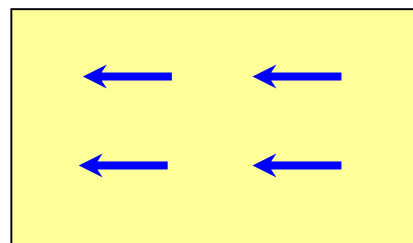
$$\vec{B}_0 = 0$$



$$\vec{m}_{\text{分}} = 0,$$

不显磁性

$$\vec{B}_0 \longrightarrow$$

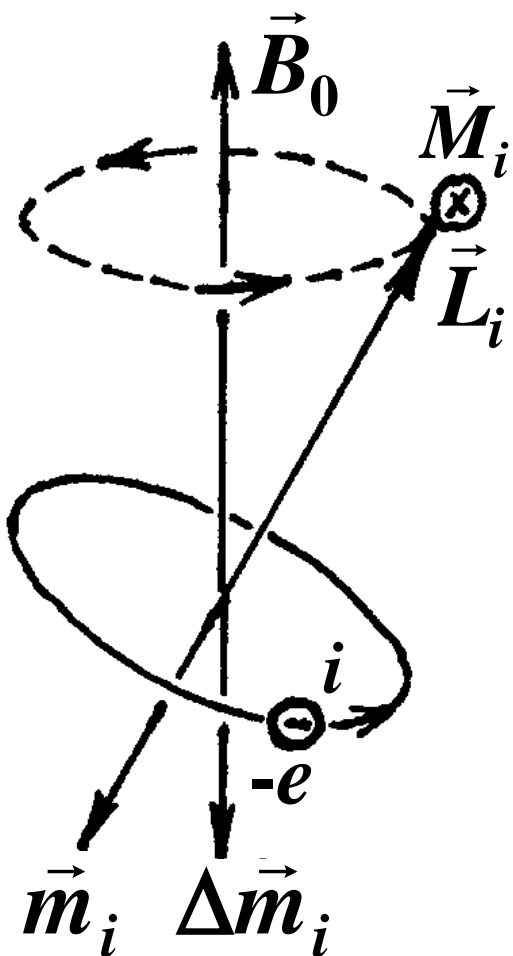


附加磁矩 $\Delta \vec{m}_{\text{分}} \parallel \vec{B}_0$

显示抗磁性



为什么 $\Delta \vec{m}_{\text{分}}$ 反平行于 \vec{B}_0 呢？



以电子的轨道运动为例，

第 i 个电子受的磁力矩

$$\vec{M}_i = \vec{m}_i \times \vec{B}_0$$

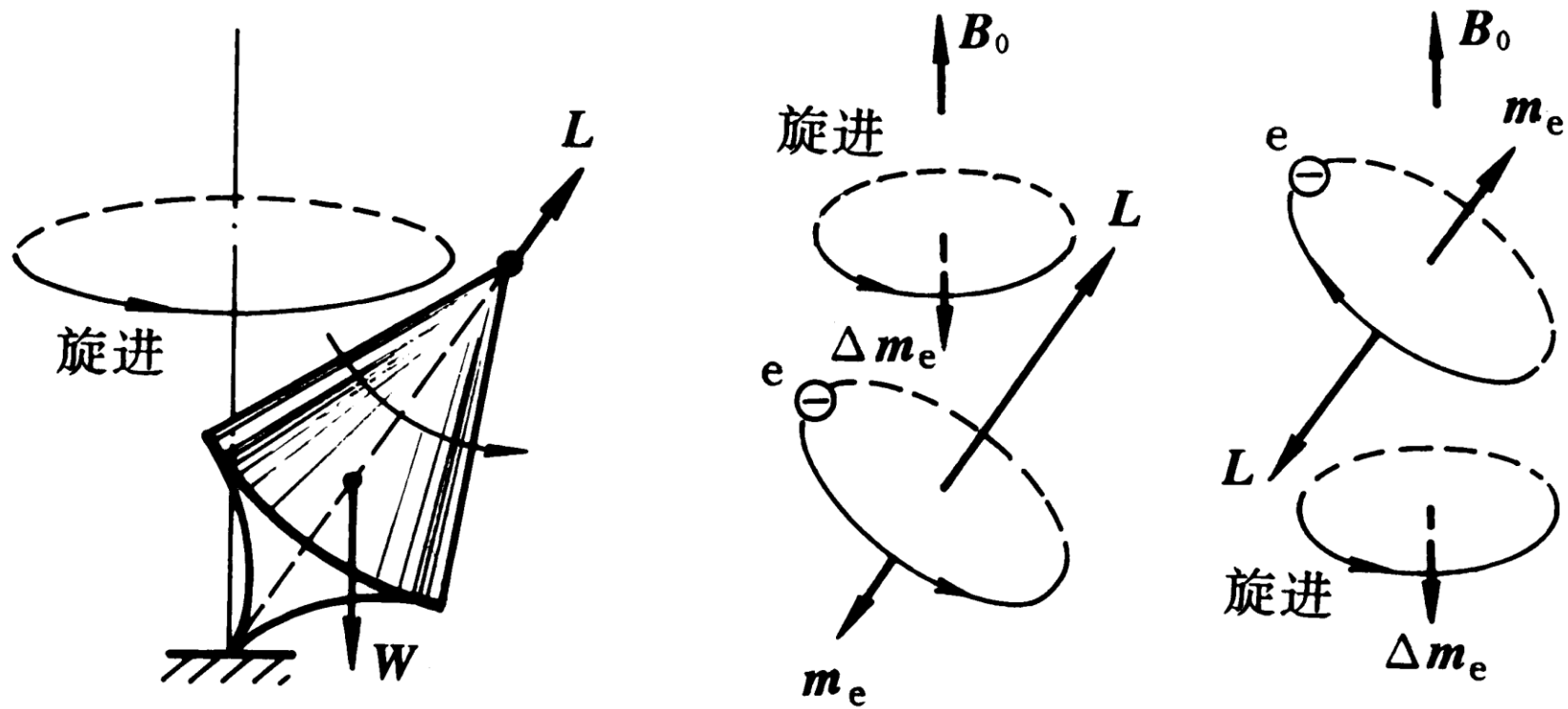
电子轨道角动量增量

$$d\vec{L}_i = \vec{M}_i dt \perp \vec{L}_i$$

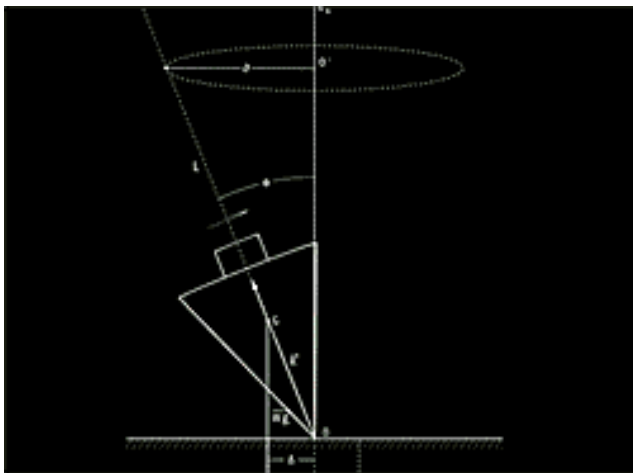
\therefore 电子旋进，它引起的感应
磁矩 $\Delta \vec{m}_i$ 反平行于 \vec{B}_0 。

这种效应在顺磁质中也有，

不过与分子固有磁矩的转向效应相比弱得多。



电子在外磁场中的进动



三. 磁化强度与磁化电流

(magnetization and magnetization current)

1. 磁化强度:
$$\vec{M} = \lim_{\Delta V \rightarrow 0} \frac{\sum \vec{m}_{\text{分}}}{\Delta V}$$

对顺磁质和抗磁质, 实验表明: $\vec{M} \propto \vec{B}$

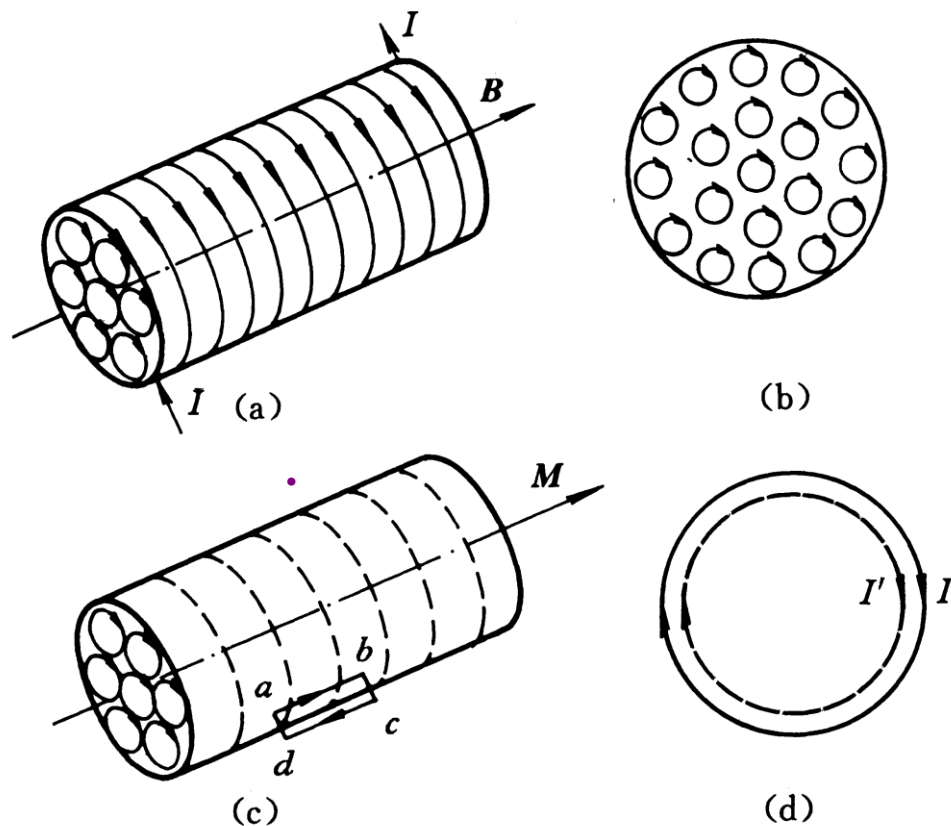
对铁磁质, 实验表明: \vec{M} 和 \vec{B} 呈非线性关系
而且是非单值对应关系

2. 磁化电流: 由于介质磁化而出现的一些
等效的附加电流分布。

设沿轴线单位长度上的磁化电流(即磁化面电流密度)为 \vec{j}' , 则对于截面积为 S 、长为 l 的一段磁介质圆柱, 有

$$M = |\vec{M}| = \frac{|\sum \vec{m}_{\text{分}}|}{\Delta V} = \frac{j' l S}{l S} = j'$$

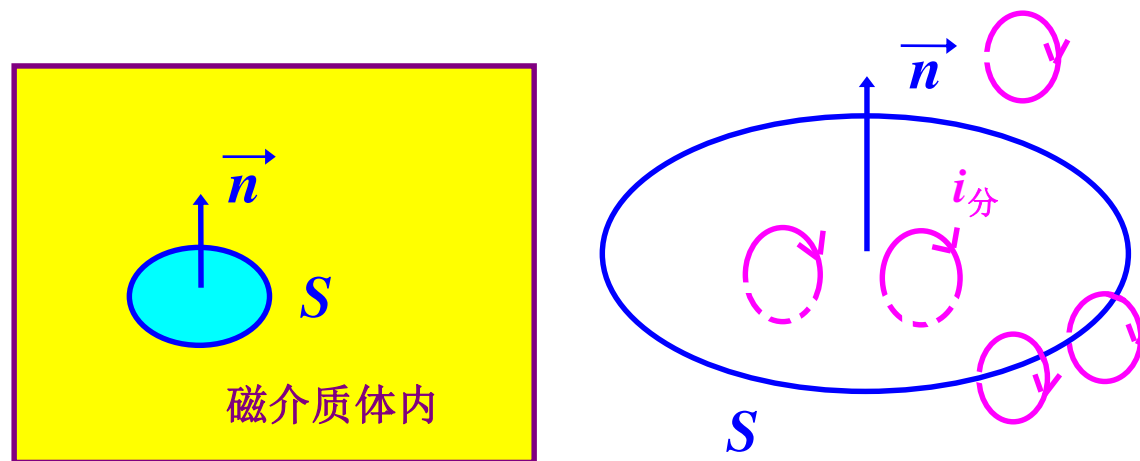
$$\oint_{(abcd)} \vec{M} \cdot d\vec{l} = M \cdot |ab| = j' |ab| = \sum_{(abcd \text{ 内})} I'$$



对于非均匀磁介质, 不仅在表面上, 而且在体内, 都可以存在由未被抵消的分子电流所形成的磁化电流。

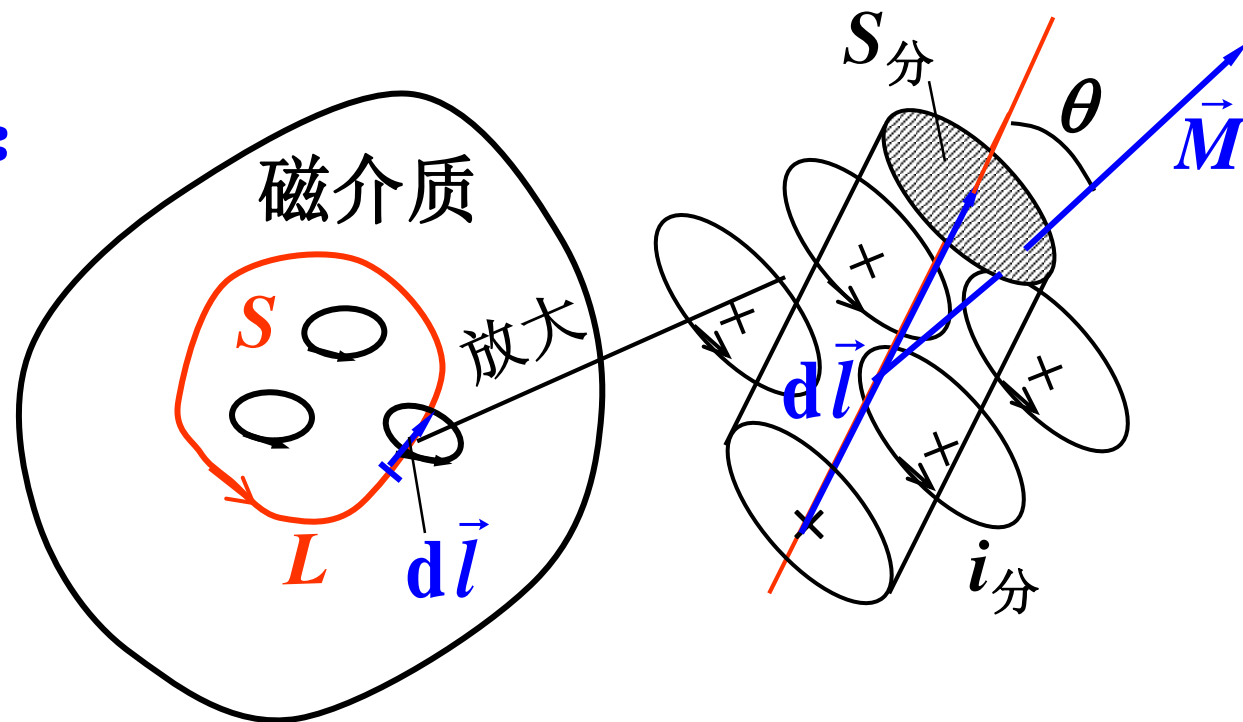
充满均匀顺磁质的载流长直螺线管

介质内:



- 在磁介质体内取曲面 S ，现在求通过它的磁化电流 I'
- 穿过 S 两次的 $i_{\text{分}}$ 对 I' 无贡献，和 S 的边界相套住的 $i_{\text{分}}$ (只穿过 ΔS 一次)对 I' 有贡献。

介质内:



设分子浓度为 n ，则套住 dl 的分子电流:

$$\begin{aligned} dI' &= n \cdot i_{\text{分}} \cdot (S_{\text{分}} \cdot \cos \theta \cdot dl) \\ &= M \cdot dl \cdot \cos \theta = \vec{M} \cdot d\vec{l} \end{aligned}$$

穿过 L 所围曲面 ΔS 的磁化电流

$$I' = \oint_L \vec{M} \cdot d\vec{l}$$

$$I' = \oint_L \vec{M} \cdot d\vec{l} = \int_S \vec{J}' \cdot d\vec{S}$$

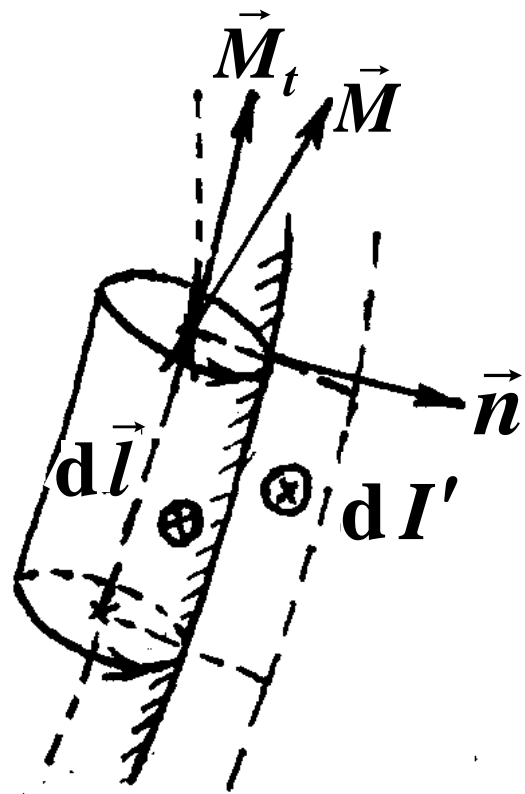
斯托克斯定理

$$\oint_L \vec{A} \cdot d\vec{l} = \int_S (\nabla \times \vec{A}) \cdot d\vec{S}$$

S是以闭合回路L为周界的曲面

$$\vec{J}' = \nabla \times \vec{M}$$

介质表面:



选 $d\vec{l} \parallel \vec{M}_t$

$$dI' = \vec{M} \cdot d\vec{l} = M_t \cdot dl$$

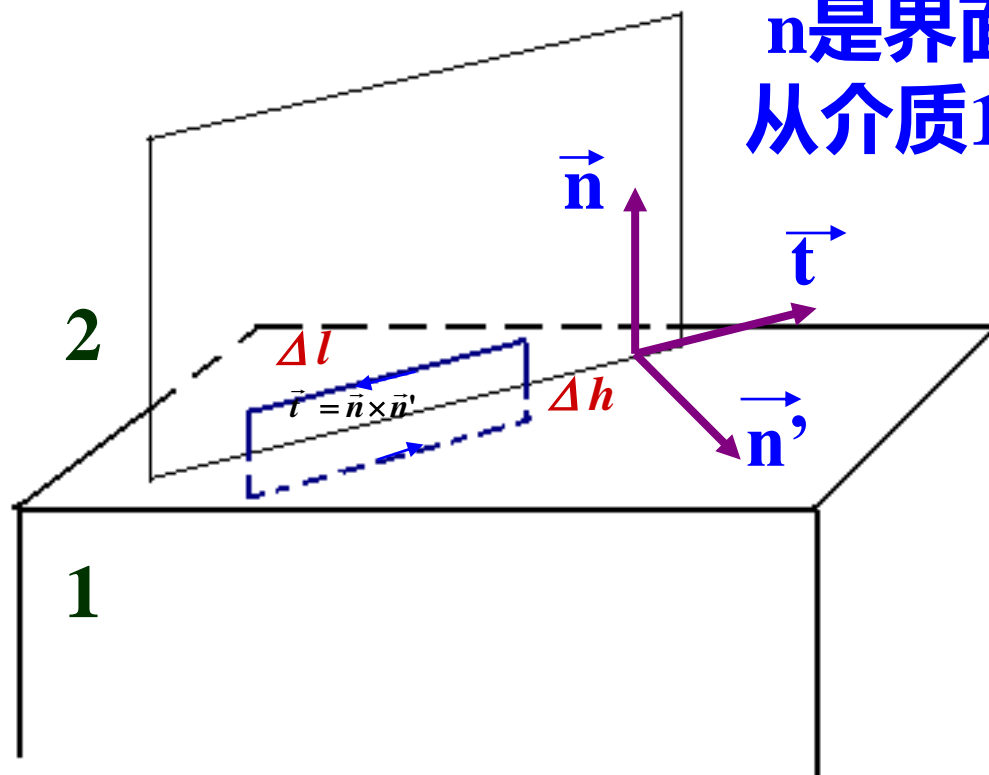
磁化面电流密度

$$j' = \frac{dI'}{dl} = M_t$$

$$\vec{j}' = \vec{M} \times \vec{e}_n$$

一般地，在介质1与介质2的界面 $\vec{j}' = (\vec{M}_1 - \vec{M}_2) \times \vec{n}$

\vec{n} 是界面法线方向的单位矢量，
从介质1指向介质2。



证： 任选一垂直界面
的平面，其
法线方向的单
位矢量为 \vec{n}' 。

令

$$I' = \oint_L \vec{M} \cdot d\vec{l} = \int_S \vec{J}' \cdot d\vec{S}$$

$$(\vec{M}_1 - \vec{M}_2) \cdot \Delta l \vec{t} = \vec{J}' \cdot \Delta S \vec{n}'$$

$$(\vec{M}_1 - \vec{M}_2) \cdot \Delta l \vec{t} = \vec{J}' \cdot \Delta h \Delta l \vec{n}' = \vec{j}' \cdot \Delta l \vec{n}'$$

$$\vec{j}' \cdot \vec{n}' = (\vec{M}_1 - \vec{M}_2) \cdot \vec{t} = (\vec{M}_1 - \vec{M}_2) \cdot (\vec{n} \times \vec{n}')$$

由 $\vec{a} \cdot (\vec{b} \times \vec{c}) = (\vec{a} \times \vec{b}) \cdot \vec{c}$

得 $\vec{j}' \cdot \vec{n}' = [(\vec{M}_1 - \vec{M}_2) \times \vec{n}] \cdot \vec{n}'$

而 \vec{n}' 是任意的, 故 $\vec{j}' = (\vec{M}_1 - \vec{M}_2) \times \vec{n}$

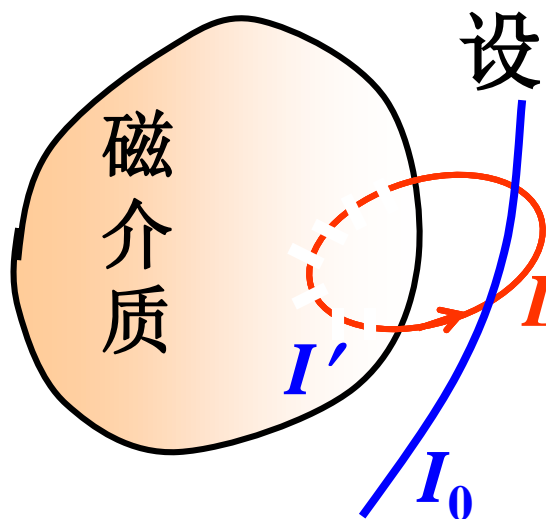
19.4 有磁介质时磁场的规律

$$\text{真空} \begin{cases} \oint_L \vec{B} \cdot d\vec{l} = \mu_0 \Sigma I_{\text{内}} & (1) \\ \oint_S \vec{B} \cdot d\vec{S} = 0 & (2) \end{cases}$$

考虑到磁化电流，（1）式则需要修改。

一. \vec{H} 的环路定理

设： I_0 — 传导电流， I' — 磁化电流。


$$\begin{aligned} \oint_L \vec{B} \cdot d\vec{l} &= \mu_0 \Sigma (I_{0\text{内}} + I'_{\text{内}}) \\ &= \mu_0 \Sigma I_{0\text{内}} + \mu_0 \oint_L \vec{M} \cdot d\vec{l} \end{aligned}$$

$$\therefore \oint_L \left(\frac{\vec{B}}{\mu_0} - \vec{M} \right) \cdot d\vec{l} = \sum I_{0\text{内}}$$

令 $\vec{H} = \frac{\vec{B}}{\mu_0} - \vec{M}$ —— 磁场强度
(magnetic field intensity)

得: $\oint_L \vec{H} \cdot d\vec{l} = \sum I_{0\text{内}}$ —— \vec{H} 的环路定理

$$\nabla \times \vec{H} = \vec{J}_0 \quad \text{—— 微分形式}$$

▲ H 的单位: A/m (SI) ;

奥斯特 Oe (CGS) , $1\text{Oe} = \frac{10^3}{4\pi} \text{A/m}$ 。
(Oersted)

▲ 真空: $\vec{M} = 0$, $\vec{H} = \frac{\vec{B}}{\mu_0}$

从物理本质上看, E 和 B 是场的基本物理量, 而 D 和 H 是辅助物理量。历史上由于人们对磁场曾有不正确的认识, 把 H 称为磁场强度而和电场强度 E 对比。现在人们知道这种看法是错误的, 但由于历史原因, 仍保留着 B 和 H 的原来名称。在实践上, 物理量 H 有一定的重要性, 这是因为 H 与自由电流分布 J_f 有关, 而 J_f 是直接受实验条件控制的。

▲ 实验指出，对各向同性非铁磁物质：

$$\vec{M} \propto \vec{H} \rightarrow \boxed{\vec{M} = (\mu_r - 1) \vec{H} = \chi_m \vec{H}}$$

χ_m — 磁化率 (magnetic susceptibility)

$$\chi_m = \mu_r - 1$$

$$\vec{H} = \frac{\vec{B}}{\mu_0} - \vec{M} = \frac{\vec{B}}{\mu_0} - \chi_m \vec{H}$$

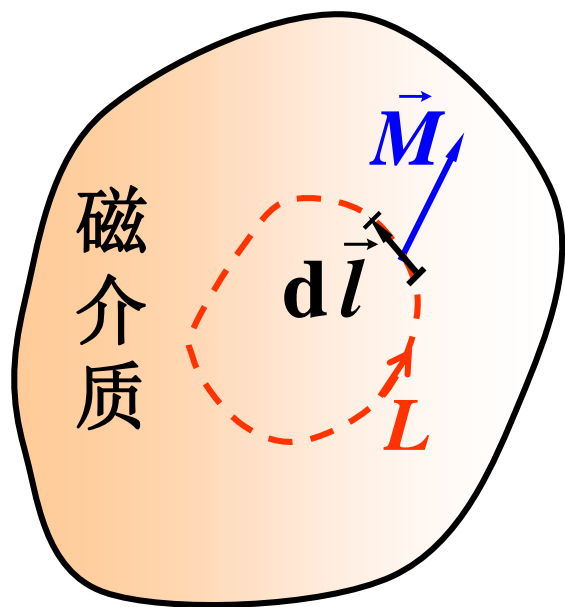
$$\longrightarrow \vec{B} = \mu_0(\chi_m + 1)\vec{H} = \mu_0\mu_r\vec{H}$$

令 $\boxed{\mu = \mu_0\mu_r}$ — 磁导率 (permeability)

则有 $\boxed{\vec{B} = \mu\vec{H}}$ 真空： $\mu = \mu_0$

例19.1 证明在各向同性非铁磁物质内，
无传导电流处，也无磁化电流。

证： 方法一 介质中闭合回路 L 所套联的分子电流为：



$$\begin{aligned} I' &= \oint_L \vec{M} \cdot d\vec{l} = \oint_L \chi_m \vec{H} \cdot d\vec{l} \\ &= \chi_m \oint_L \vec{H} \cdot d\vec{l} = \chi_m \cdot \sum I_0 \end{aligned}$$

若 $\sum I_0 = 0$ ，则 $I' = 0$

L 可任取，且可无限缩小，
故 $I_0 = 0$ 处， $I' = 0$ 。

方法二

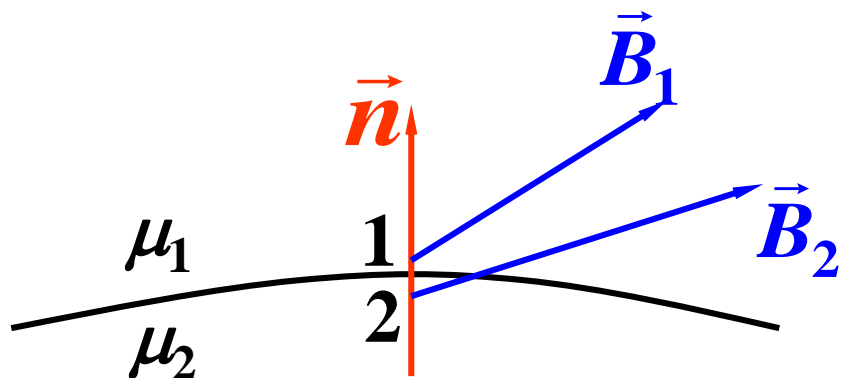
$$\nabla \times \vec{H} = \vec{J}_0$$

$$\vec{M} = (\mu_r - 1) \vec{H} = \chi_m \vec{H}$$

$$\vec{J}' = \nabla \times \vec{M} = \chi_m \nabla \times \vec{H} = \chi_m \vec{J}_0$$

故无传导电流处，也无磁化电流。

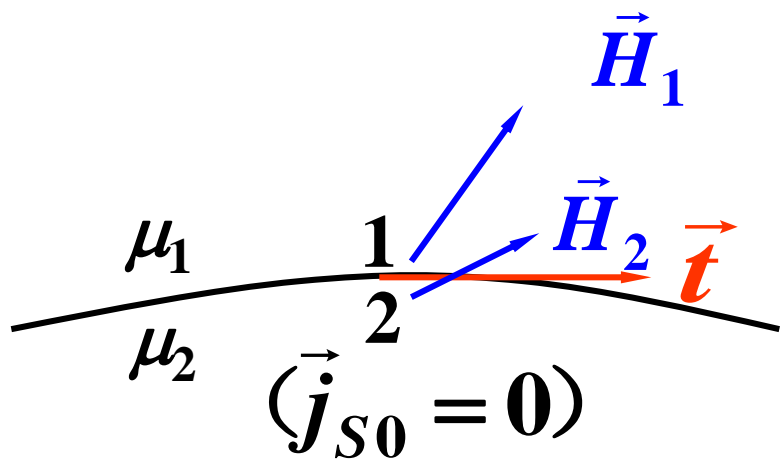
二. 磁场的界面关系, *静磁屏蔽



由 $\oint_S \vec{B} \cdot d\vec{s} = 0$

可得 $B_{1n} = B_{2n}$ (1)

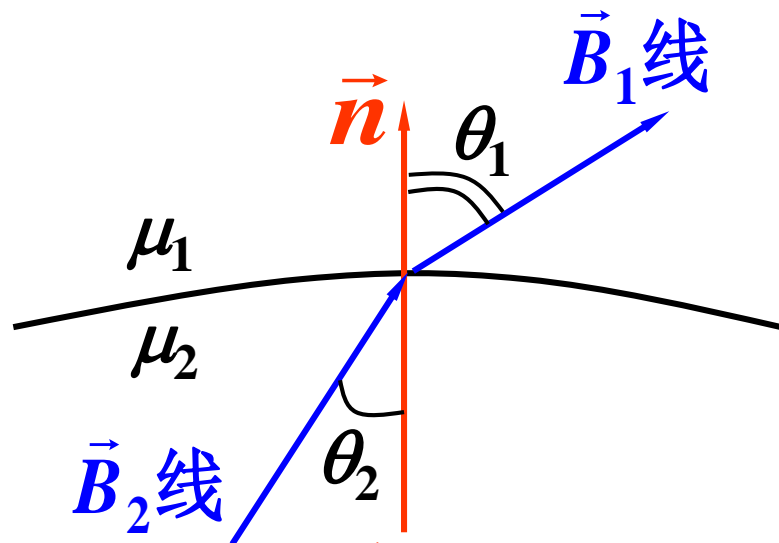
设界面无传导电流,



由 $\oint_L \vec{H} \cdot d\vec{l} = 0$

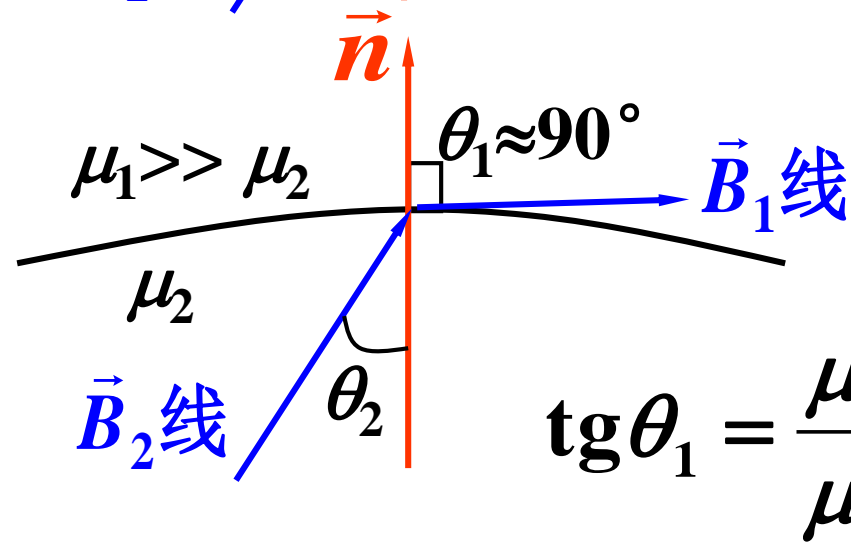
可得 $H_{1t} = H_{2t}$ (2)

即: $\frac{B_{1t}}{\mu_1} = \frac{B_{2t}}{\mu_2}$ (2')



$$(2)' : \frac{1}{\mu_1} \operatorname{tg} \theta_1 = \frac{1}{\mu_2} \operatorname{tg} \theta_2$$

若 $\mu_1 > \mu_2$, 则 $\theta_1 > \theta_2$,

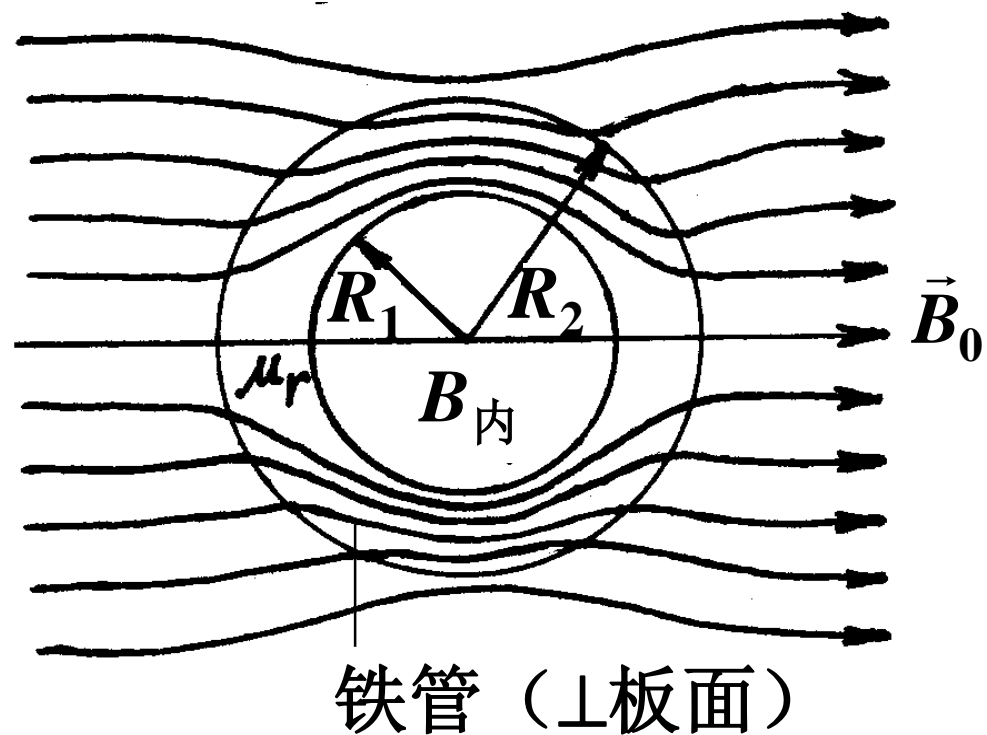


当 $\mu_1 \gg \mu_2$ 时,

$$\operatorname{tg} \theta_1 = \frac{\mu_1}{\mu_2} \operatorname{tg} \theta_2 \gg 1, \theta_2 \neq 0, \theta_1 \approx \frac{\pi}{2}。$$

在 μ_1 很大的介质1中, \vec{B} 线几乎平行界面,
这就是铁磁质中 **\vec{B} 线沿铁芯延续**的情形。

*静磁屏蔽

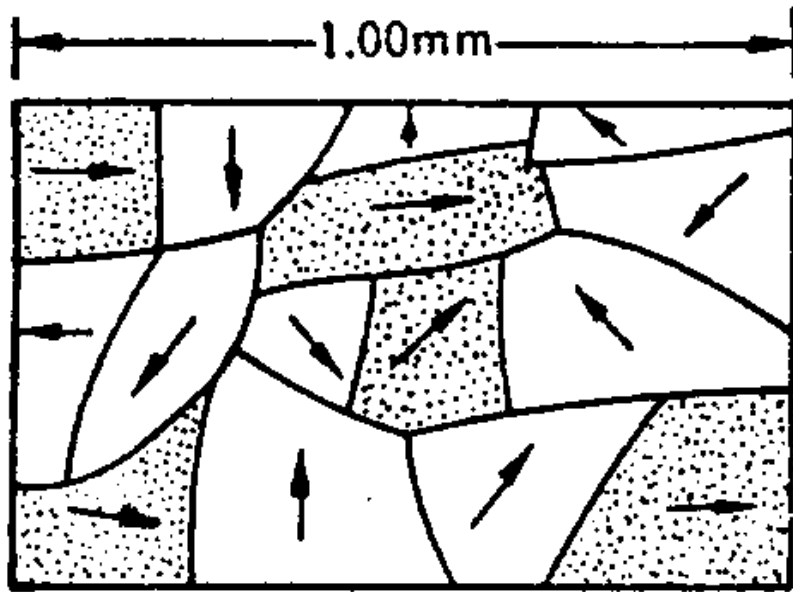


精密探头、显象管...都需要磁屏蔽。

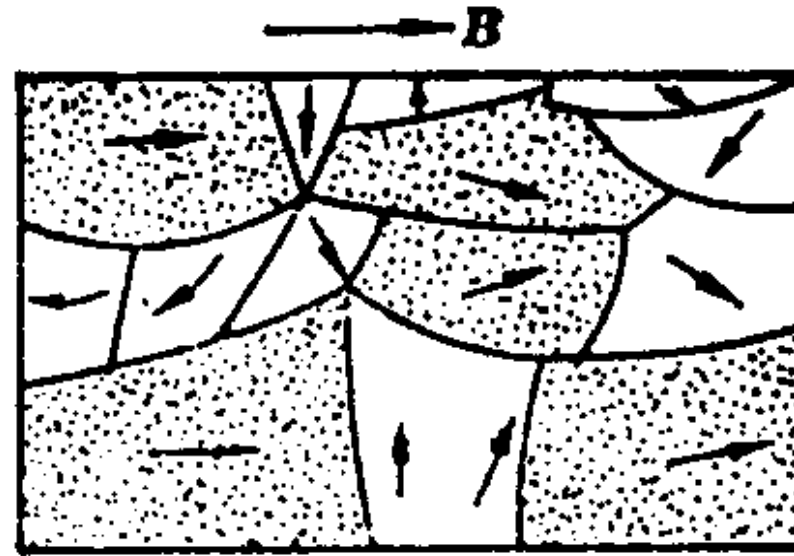
19.5 铁磁质 (ferromagnetic substance)

一. 磁畴 (magnetic domain)

铁磁质中起主要作用的是电子的自旋磁矩。各电子的自旋磁矩靠交换耦合作用使方向一致，从而形成自发的均匀磁化小区域——磁畴。



未加磁场



在磁场 B 中

各种材料磁畴线度相差较大：从 10^{-3}m 到 10^{-6}m ，
一般为 $10^{-4}\sim 10^{-5}\text{m}$ ，磁畴体积约为 10^{-6}mm^3 ，
一个磁畴中约有 $10^{12}\sim 10^{15}$ 个原子。

磁畴磁矩沿某个易磁化方向(direction of easy magnetization)排列。易磁化方向由晶体结构决定。
由于铁磁质的 M 比 H 大得多(约 $10^2 \sim 10^6$ 倍)，所以

$$\vec{B} \triangleq \mu_0 (\vec{H} + \vec{M}) \approx \mu_0 \vec{M},$$

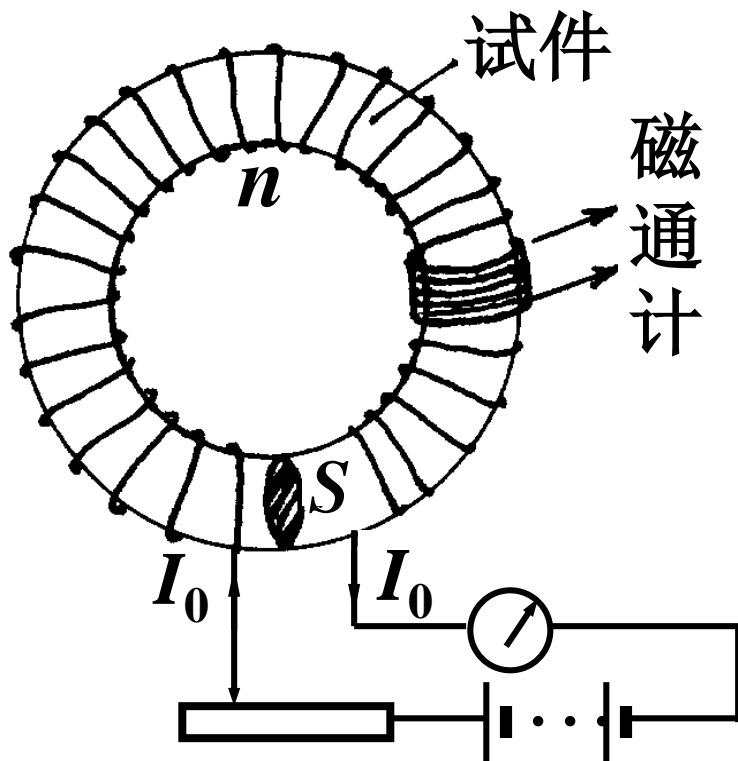
即它们的 $B - H$ 与 $M - H$ 曲线几乎一样。

二. 铁磁质的磁化规律

铁磁质 $\vec{B} \sim \vec{H}$ 关系非线性，也不单值，

形式上表示为 $\vec{B} = \mu \vec{H}$, $\mu \neq \text{Const.}$ 也不唯一。

1. 起始磁化曲线



$$\text{测 } \Phi \rightarrow B = \frac{\Phi}{S}$$

$$\text{测 } I_0 \rightarrow H = nI_0$$

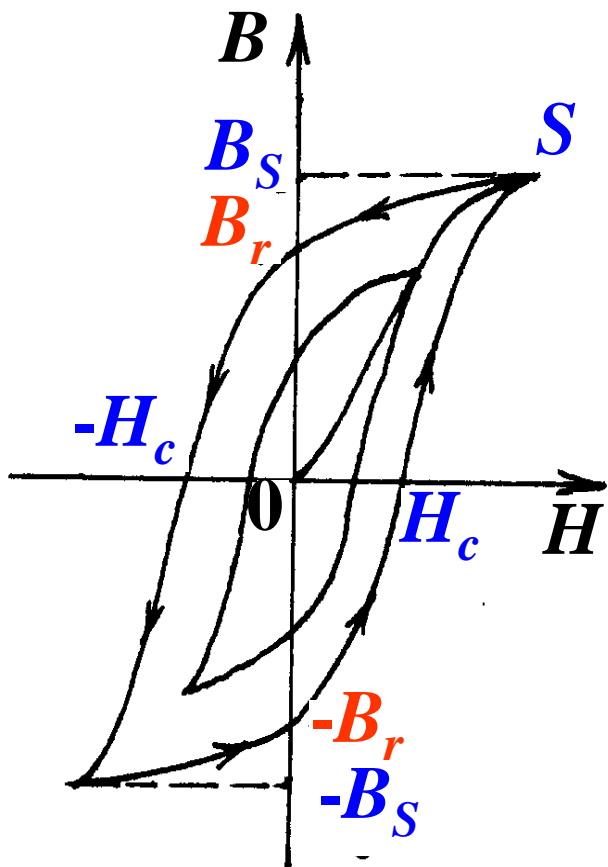
$$(\because \oint_L \vec{H} \cdot d\vec{l} = H \cdot L = NI_0 ,$$

$$\therefore H = \frac{N}{L} \cdot I_0 = nI_0)$$

由此可得到 $B \sim H$ 曲线:

2.磁滞回线 (hysteresis loop)

B 落后于 H 的变化，称为磁滞现象。



磁滞回线

B_r — 剩余磁感强度

(remanent magnetic induction)

H_c — 矫顽力 (coercive force)

磁滞是由于晶体缺陷和内应力、以及磁畴在外磁场减退时，就近沿易磁化方向排列而造成的。

“磁滞损耗” (hysteresis loss)

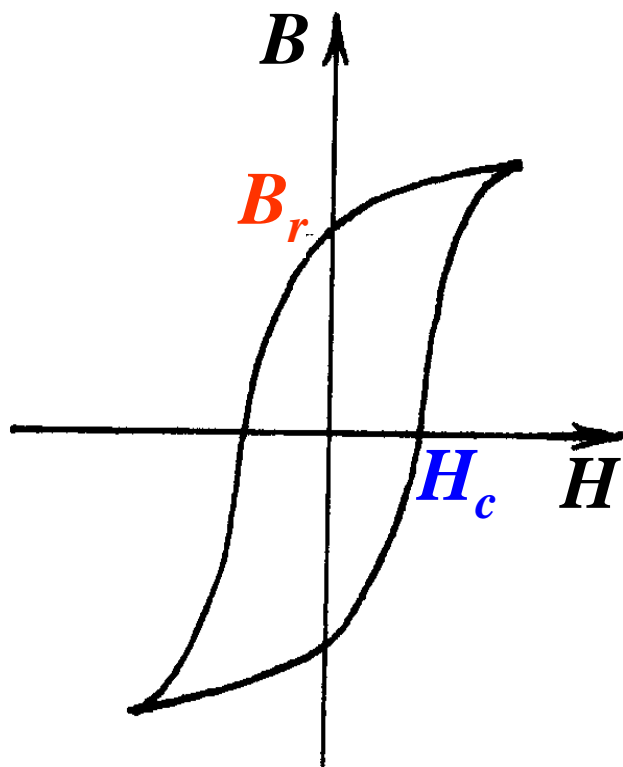
正比于 $B \sim H$ 回线所围的面积。

三. 硬磁和软磁材料

1. 硬磁材料 (**hard magnetic material**)

H_c 大 ($>10^2 \text{ A/m}$) , 一般 H_c 为 $10^4\text{--}10^6 \text{ A/m}$,

B_r 也大, 一般为 $10^3\text{--}10^4 \text{ G}$ 。



特点: 磁滞回线“胖”,

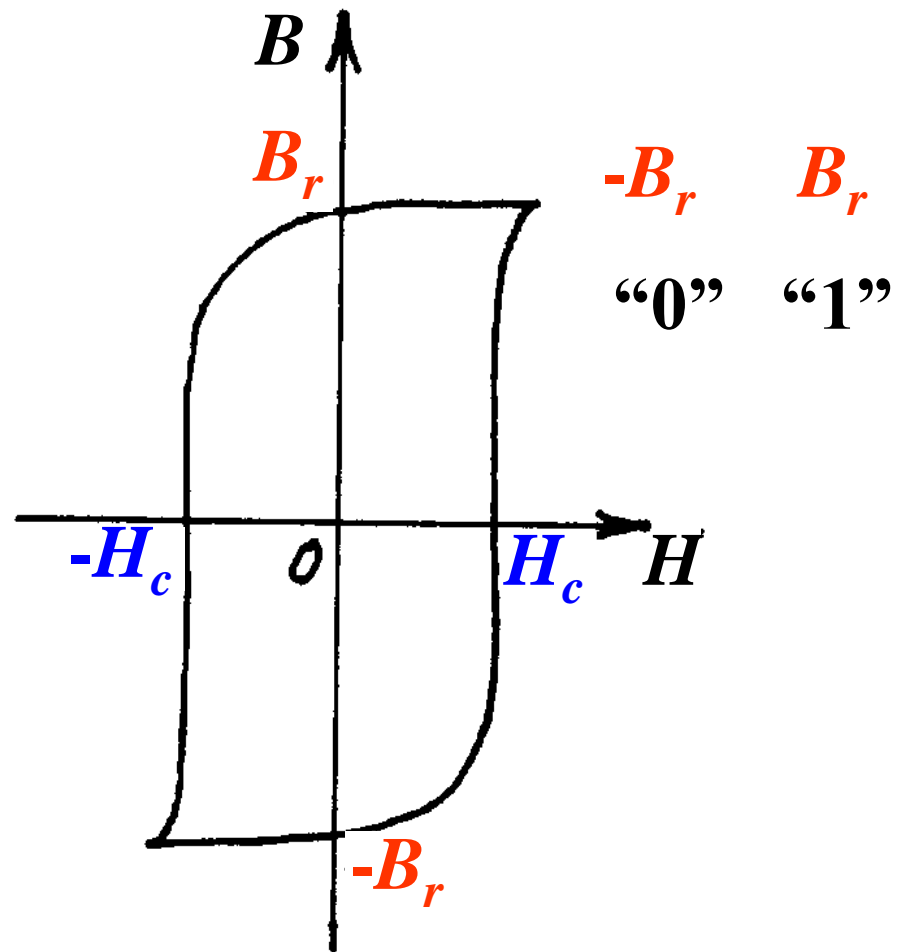
磁滞损耗大,

适合制作永久磁铁、

磁芯 (记忆元件) 等。

碳钢、钨钢

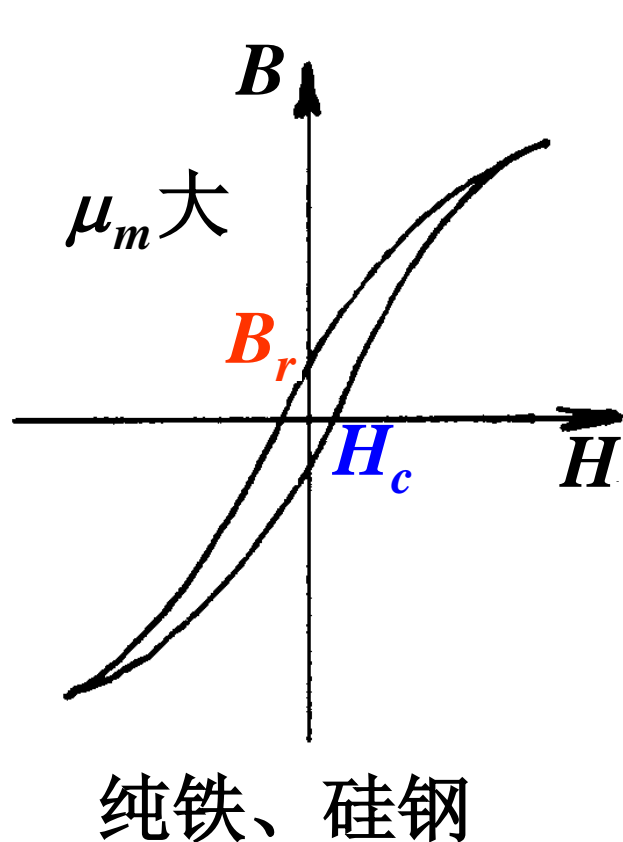
“矩磁材料”



可作记忆元件

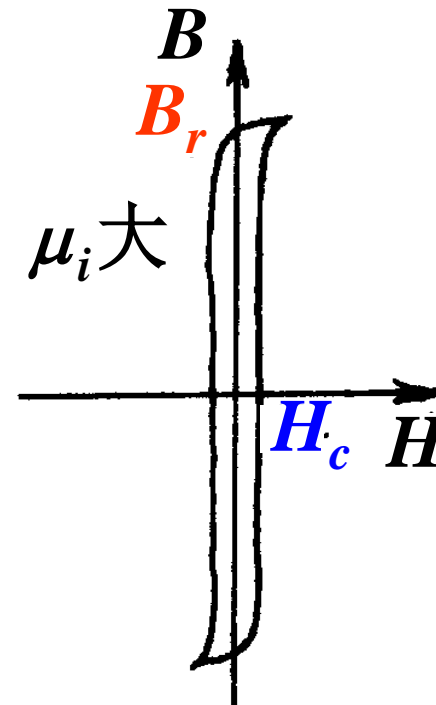
2. 软磁材料 (soft magnetic material)

H_c 小 ($<10^2 \text{ A/m}$)，一般 H_c 约为 1 A/m 。



特点:

磁滞回线“瘦”
磁滞损耗小，
适于制作交流
电磁铁、变压
器铁芯等。



坡莫合金
(Fe78%、Ni 22%)
用于电子设备

四.居里点 (Curie point)

$T \uparrow \rightarrow \vec{M}_{\text{磁畴}} \downarrow$ (自发磁化减弱)

$T \geq T_c \rightarrow \vec{M}_{\text{磁畴}} = \mathbf{0}$ (磁畴瓦解, 表现顺磁性)

T_c 是失去铁磁性的临界温度, 称“居里点”。

当 $T < T_c$ 时, 又恢复铁磁性。

Fe : $T_c = 767^\circ\text{C}$

Ni : $T_c = 357^\circ\text{C}$

Co : $T_c = 1117^\circ\text{C}$

五. 磁致伸缩

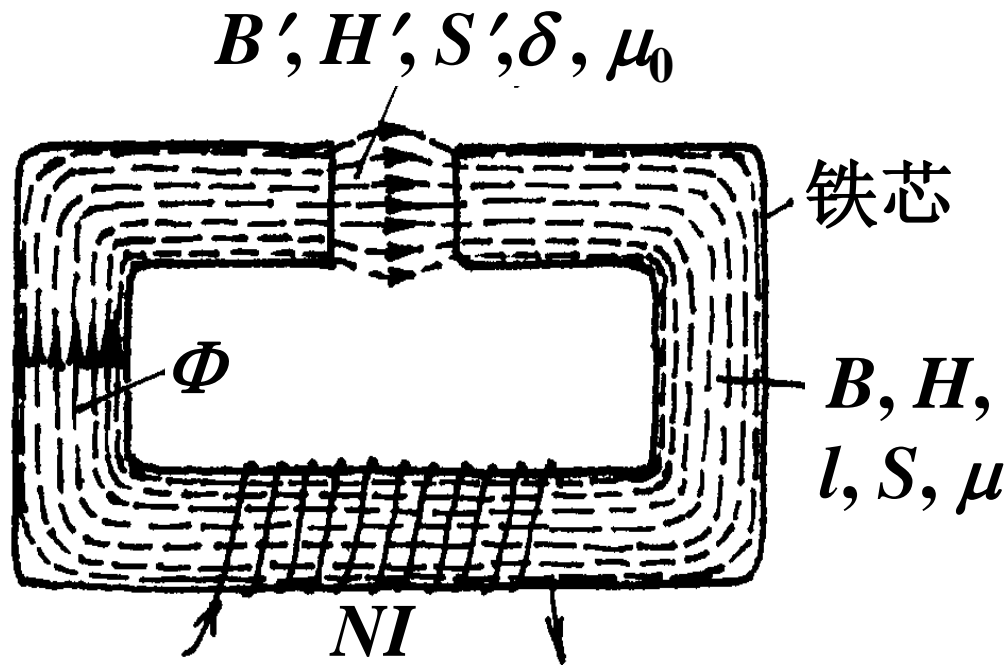
\vec{B} 变 $\rightarrow \vec{M}_{\text{磁畴}}$ 方向改变 \rightarrow 晶格间距改变
 \rightarrow 铁磁体长度和体积改变 — 磁致伸缩。

长度相对改变约 10^{-5} 量级，某些材料在低温下可达 10^{-1} ；

磁致伸缩有一定固有频率，当外磁场变化频率和固有频率一致时，发生共振，
可用于制作激振器、超声波发生器等。

19.6 简单磁路

(magnetic circuit)



$$\oint \vec{H} \cdot d\vec{l} = NI$$

$(l + \delta)$

$$Hl + H'\delta = NI$$

$$\frac{\Phi}{S\mu} l + \frac{\Phi}{S'\mu_0} \cdot \delta = NI$$

$$\Phi = \frac{NI}{\frac{l}{S\mu} + \frac{\delta}{S'\mu_0}}$$

令 \mathcal{E}_m 磁通势 (magnetomotive force)

$$= \frac{\mathcal{E}_m}{R_m + R'_m}$$

磁阻 (magnetic resistance)

把 $\Phi = \frac{\mathcal{E}_m}{R_m + R'_m}$ 和 $R_m = \frac{l}{S\mu}$ 与电路相比,

$$\mathcal{E}_m \sim \mathcal{E}, \quad \Phi \sim I, \quad R_m \sim R, \quad \mu \sim \sigma$$

$$\frac{R_m}{R'_m} = \frac{l \cdot S' \cdot \mu_0}{\delta \cdot S \cdot \mu_r \mu_0} \doteq \frac{l}{\delta \mu_r}$$

若 $\mu_r = 10^3$, 则 $\delta = 1\text{mm}$ 的气隙, 其磁阻相当于 $l = 1\text{m}$ 的铁芯磁阻, 所以气隙对磁路影响很大。
一个铁环开一个很小的气隙, 磁阻将增大很多。

磁感线沿铁走, 也可以从磁路角度解释:

铁的磁阻比空气的磁阻小得多。

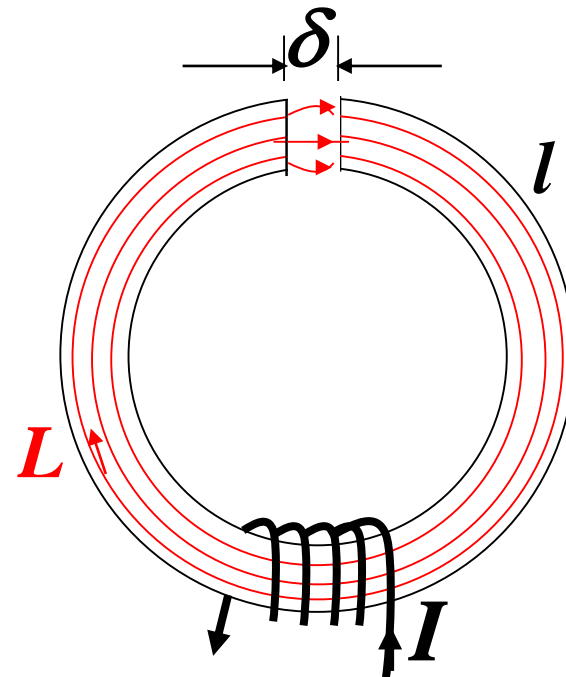
例19.2 如图所示的一个铁环，设环的长度 $l=0.5\text{m}$ ，
截面积 $S=4\times 10^{-4}\text{m}^2$ ，环上气隙的宽度为
 $\delta=1.0\times 10^{-3}\text{m}$ 。环的一部分绕有线圈 $N=200$ 匝，
设通过线圈的电流 $I=0.5\text{A}$ ，而铁心相应的 $\mu_r=5000$ ，
求铁环气隙中的磁感应强度的数值和磁通量。

解： 根据 \vec{H} 的环路定理

$$\oint_{(l+\delta)} \vec{H} \cdot d\vec{l} = NI$$

$$\Rightarrow Hl + H_0\delta = NI$$

由于 $\delta \ll l$ ，在气隙内
磁场散开不大，可认为
铁环和气隙内的 B 一样大。



$$Hl + H_0\delta = NI$$

$$\frac{B}{\mu_0\mu_r}l + \frac{B}{\mu_0} \cdot \delta = NI$$

$$B = \frac{\mu_0 NI}{\frac{l}{\mu_r} + \delta} = \frac{4\pi \times 10^{-7} \times 200 \times 0.5}{\underbrace{\frac{0.5}{5000}}_{10^{-4} \text{ (铁心)}} + \underbrace{10^{-3}}_{\text{(气隙)}}} = 0.114 \text{ T}$$

可见，气隙虽小，但是大大影响铁芯内的磁场。

磁通量 $\Phi = BS$

$$= 0.114 \times 4 \times 10^{-4} = 4.56 \times 10^{-5} \text{ Wb}$$



第19章结束